

بررسی فراوانی نسبی پلی‌مورفیسم تک نوکلئوتیدی G870A در CyclinD1 (rs9344) در ژن بیماران مبتلا به سرطان کلورکتال و افراد سالم در جمعیت اصفهان

شیما رحیمی راد^۱، رسول صالحی^۲، بهناز صفار^۳، مصطفی نیایی^۴

مقاله پژوهشی

چکیده

مقدمه: سرطان کلورکتال (Colorectal cancer) یکی از سرطان‌های شایع در جهان است. فعالیت بیش از حد ژن CyclinD1 در پیشبرد این سرطان دیده شده است. پلی‌مورفیسم G870A در اگزون ۴ ژن، منجر به تولید یک رونوشت متناظب می‌شود که نیمه عمر طولانی‌تری دارد و ممکن است با رشد سلولی غیر قابل کنترل به توسعه‌ی سرطان کمک کند. مطالعه‌ی حاضر، به منظور بررسی فراوانی نسبی پلی‌مورفیسم G870A در ژن CyclinD1 در افراد مبتلا به سرطان کلورکتال تک‌گیر (Sporadic) و افراد سالم در جمعیت اصفهان انجام شد.

روش‌ها: نمونه‌ی DNA از لکوستهای خون محیطی ۵۰ بیمار مبتلا به سرطان کلورکتال تک‌گیر و ۵۰ فرد سالم فاقد سرطان از جمعیت استان اصفهان استخراج شد. پلی‌مورفیسم CCND1 در ژن G870A با استفاده از واکنش زنجیره‌ای پلی‌مراز- پلی‌مورفیسم طولی قطعات محدود شده (PCR-RFLP Polymerase chain reaction-restriction fragment length polymorphism) در افراد سالم و بیمار تعیین ژنتیپ شد. تجزیه و تحلیل آماری با استفاده از نرم‌افزار SPSS و با کمک آزمون χ^2 انجام شد.

یافته‌ها: ارتباط معنی‌داری بین فراوانی آلل پلی‌مورفیسم G870A در ژن CCND1 در بین گروه‌های مورد و شاهد دیده نشد ($P = 0.204$). در حالی که فراوانی ژنتیپ AA در گروه مورد به صورت معنی‌داری بیشتر بود ($P = 0.040$). $OR = 2/25$ درصد، $CI = 1/13 - 5/54$.

نتیجه‌گیری: با توجه به ارتباط معنی‌دار مشاهده شده بین ژنتیپ خاصی از این جایگاه (AA) با سرطان کلورکتال، می‌توان در آینده از آن به عنوان یک نشانگر پیش‌آگهی دهنده‌ی مناسب در غربالگری سرطان کلورکتال استفاده نمود.

واژگان کلیدی: سرطان کلورکتال، پلی‌مورفیسم تک نوکلئوتیدی، ژن CyclinD1

ارجاع: رحیمی راد شیما، صالحی رسول، صفار بهناز، نیایی مصطفی. بررسی فراوانی نسبی پلی‌مورفیسم تک نوکلئوتیدی G870A در ژن CyclinD1 (CCND1) در بیماران مبتلا به سرطان کلورکتال و افراد سالم در جمعیت اصفهان. مجله دانشکده پزشکی اصفهان ۱۳۹۵؛ ۳۴: ۳۸۵.

۶۴۹-۶۵۶

مقدمه

سرطان کلورکتال (Colorectal cancer) یا سرطان کلورکتال، از شایع‌ترین سرطان‌های میان انسان‌ها می‌باشد و از عوامل مرگ و میر مهم در سرتاسر دنیا به شمار می‌آید (۱). شیوع این سرطان در ایران، به نسبت بالا و رو به افزایش می‌باشد و به طور تقریبی، حدود ۷ نفر از هر ۱۰۰۰۰۰ نفر جمعیت است (۲). در توسعه‌ی این سرطان، تعاملات ژن‌ها و عوامل محیطی درگیر هستند و تشخیص زودهنگام و تعیین

بهترین روش‌های غربالگری، از نتایج بررسی بیماری‌زایی این سرطان می‌باشند (۳).

پروتئین CyclinD1 که توسط ژن CCND1 کد می‌شود، یک عامل تنظیمی مهم در چرخه‌ی سلولی است و گلر از مرحله‌ی G₁ به S را کنترل می‌کند (۴). فعالیت بالای ژن CCND1 و بیان بیش از حد پروتئین آن، اغلب در تومورهایی نظیر سرطان کلورکتال دیده شده است (۵).

- ۱- دانشجوی کارشناسی ارشد، گروه ژنتیک، دانشکده‌ی علوم پایه، دانشگاه شهرکرد، شهرکرد، ایران
- ۲- استاد، گروه ژنتیک و زیست‌شناسی مولکولی، دانشکده‌ی پزشکی، دانشگاه علوم پزشکی اصفهان، اصفهان، ایران
- ۳- استادیار، گروه ژنتیک، دانشکده‌ی علوم پایه، دانشگاه شهرکرد، شهرکرد، ایران

نویسنده‌ی مسؤول: رسول صالحی

Email: r_salehi@med.mui.ac.ir

سرطان کلورکتال سالم بودند و برای معاینه‌ی سالانه به دستور پزشک یا برای انجام آزمایش کلونوسکوپی به این مرکز مراجعه کردند. با توجه به این که در جمیعت ایران در مورد ارتباط این پلی‌مورفیسم با خطر سرطان کلورکتال و فراوانی آل‌ها اطلاعاتی در دست نبود؛ به صورت مطالعه‌ی Pilot، تعداد ۵۰ نفر مورد (Case) و ۵۰ نفر شاهد (Control) در نظر گرفته شدند. پرسشنامه‌ای تهیه شد و از افراد دو گروه در مورد اطلاعات دموگرافیک، سن، ساختار توده‌ی بدن، تاریخچه‌ی مصرف سیگار و داروهای NSAIDs و انجام فعالیت بدنی پرسیده شد. تمام شرکت کنندگان از نوع مطالعه آگاه شدند و رضایت‌نامه‌ی کتبی از همه دریافت شد.

نمونه‌ی DNA از لکوستیت‌های خون محیطی شرکت کنندگان با استفاده از کیت استخراج Genet Bio (Genet Bio) استخراج شد. کیفیت و کمیت DNA استخراج شده با استفاده از الکتروفورز ژل آگارز و اسپکتروفوتومتری بررسی شد. تعیین ژنتیپ‌ها به روش واکنش زنجیره‌ای پلیمراز-پلی‌مورفیسم طولی قطعات محدود شده Polymerase chain reaction-restriction fragment length (PCR-RFLP) یا polymorphism مجموعه‌ی پرایمرهای مناسب (جدول ۱) برای تولید ۲۵۱ جفت باز محصول PCR که حاوی ناجیه‌ی پلی‌مورفیسم G870A بود، استفاده شد. شرایط PCR به صورت یک چرخه شامل اولیه در ۹۴ درجه‌ی سانتی‌گراد به مدت ۵ دقیقه، ۳۰ چرخه شامل دناتوره کننده در ۹۴ درجه‌ی سانتی‌گراد به مدت ۳۰ ثانیه، دمای اتصال پرایم در ۶۳ درجه‌ی سانتی‌گراد به مدت ۳۰ ثانیه، طویل‌سازی در دمای ۷۲ درجه‌ی سانتی‌گراد به مدت ۱۰ دقیقه در دمای ۷۲ درجه‌ی سانتی‌گراد به مدت ۱۰ دقیقه در دمای ۷۲ درجه‌ی سانتی‌گراد به صورت یک چرخه انجام شد.

حجم نهایی واکنش PCR ۲۵ میکرولیتر بود و شامل ۱۴ میکرولیتر آب مقطر، ۲/۵ میکرولیتر بافر (X¹⁰) (سیناژن، ایران)، ۰/۷۵ میکرولیتر MgCl₂ ۵۰ میلی‌مولار (سیناژن، ایران)، ۰/۵ میکرولیتر dNTP Deoxynucleotide triphosphate ۰/۱ میلی‌مولار (سیناژن، ایران)، ۰/۲ میکرولیتر پرایم F (۱۰۰ پیکومول بر میکرولیتر) (ژن فن‌آوران)، ۰/۲ میکرولیتر پرایم R

این تقویت و افزایش بیان، منجر به گذرا نابهجهای G₁ به S همراه با عبور DNA آسیب دیده‌ی ترمیم نشده و در نهایت، تکثیر غیر طبیعی سلول‌ها می‌شود^(۶). پلی‌مورفیسم تک نوکلئوتیدی (SNP) یا SNP (Single nucleotide polymorphism) شایع G به A در نوکلئوتید (CCND1 G870A polymorphism, rs9344) ۸۷۰ ژن CCND1 G870A polymorphism، عنوان یک آلل مستعد کننده با نفوذ پایین در خطر سرطان کلورکتال میان جمیعت‌های نژادی مختلف بررسی شده است^(۷).

جایگزینی G/A مرتبط با کدون Pro-241-Pro (Pro-241-Pro) در ناحیه‌ی حفظ شده‌ی دهنده‌ی پردازش اگزون ۴، منجر به تولید رونوشت متناوب از ژن CCND1 Transcript می‌شود که b (Point estimation by sequential testing) است^(۸).

آل G، یک رونوشت کامل به نام a Transcript تولید می‌کند که مانع از بیان بیش از حد CyclinD1 می‌شود. «رونوشت b» (آل) نیمه عمر طولانی‌تری نسبت به «رونوشت a» دارد و در نتیجه، منجر به عبور بیشتر G به S و کمک به توسعه‌ی سرطان می‌شود^(۹).

هدف از انجام مطالعه‌ی حاضر، بررسی فراوانی نسبی و ارتباط پلی‌مورفیسم G870A در ژن CCND1 با خطر ابتلا به سرطان کلورکتال میان افراد بیمار و سالم در جمیعت اصفهان است. چنین مطالعه‌ای تا کنون در ایران انجام نشده بود. همچنین، در این مطالعه، ارتباط بین تعدادی از عوامل محیطی نظیر فعالیت بدنی، مصرف داروهای غیر استروئیدی ضد التهابی (NSAIDs) یا (Non-steroidal anti-inflammatory drugs) بدنبال (BMI) یا Body mass index، مصرف سیگار، با خطر سرطان کلورکتال و ژنتیپ‌های مختلف پلی‌مورفیسم بررسی شد.

روش‌ها

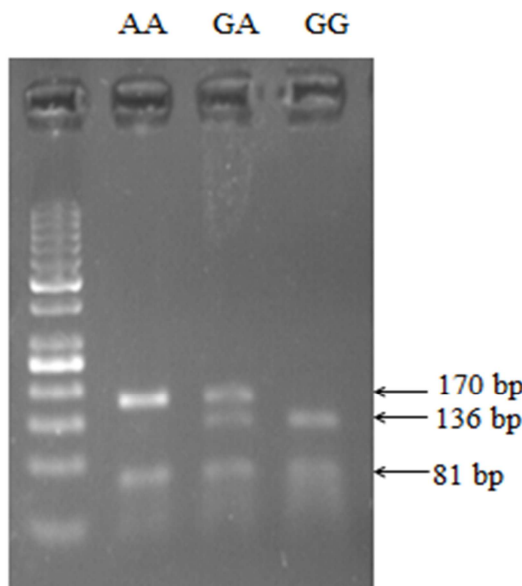
در این مطالعه‌ی مورد-شاهدی، ۵۰ نفر بیمار مبتلا به سرطان کلورکتال تک گیر (Sporadic) و ۵۰ نفر فرد سالم بدون سرطان از جمیعت استان اصفهان شرکت داشتند. دو گروه، از افراد مراجعه کننده به مؤسسه‌ی پژوهشی - درمانی پورسینای حکیم اصفهان و بیمارستان سیدالشهدای (ع) (امید) اصفهان انتخاب شدند. افراد شاهد، از نظر

جدول ۱. توالی پرایم و طول آمپلیکون برای پلی‌مورفیسم G870A در ژن CCND1

کد شناسایی SNP	آلل اجدادی	توالی پرایم	آنزیم محدود PCR	طول محصل کننده	RFLP (bp)
Rs9344	G	Forward: ATTTCCAATCCGCCCTCCAT Reverse: CCCCAACCTTGTCAACCCTT	۲۵۱	MspI	۱۳۶ + ۸۱ + ۳۴GG: ۱۷۰ + ۱۳۶ + ۸۱ + ۳۴AG: ۱۷۰ + ۸۱AA:

SNP: Single nucleotide polymorphism; RFLP: Restriction fragment length polymorphism

مورد کمتر از داروهای NSAIDs به صورت منظم نسبت به گروه شاهد (۲۶ درصد در مقابل ۸ درصد) استفاده می‌کردند و ارتباط معکوس معنی‌داری بین خطر سرطان کلورکتال و مصرف داروهای NSAIDs مشاهده شد ($P = 0.020$).



شکل ۱. قطعات حاصل از هضم آنزیمی محصولات PCR (Polymerase chain reaction)

CyclinD1 در ژن **G870A** در این شکل، افراد هموژیگوت (AA) و (GG) و هتروژیگوت (GA) برای این پلی‌مورفیسم مشاهده می‌شوند.
Ladder 50 bp SM 0373

(۰۰۰۱ پیکومول بر میکرولیتر) (ژن فن آوران)، ۰/۲۵ میکرولیتر آنزیم (۵ واحد بر میکرولیتر) (سیناژن، ایران) و ۳ میکرولیتر DNA بود.

محصولات PCR توسط آنزیم محدودالاثر MspI (فرمتاز، فرانسه) مورد هضم قرار گرفت و الکتروفورز روی ژل آگارز ۲/۵ درصد حاوی ۰/۵ میلی‌گرم بر میلی‌لیتر DNA Green viewer برای مشاهده قطعات حاصل از هضم آنزیمی انجام شد. با توجه به موقعیت هضم آنزیمی، سه الگوی مختلف شامل سه باند ۸۱، ۱۳۶ و ۲۶ جفت باز برای ژنتیپ وحشی (GG)، دو باند ۱۷۰ و ۸۱ و ۳۴ جفت باز برای ژنتیپ واریانت (AA) و چهار باند ۱۷۰، ۱۳۶، ۸۱ و ۳۴ جفت باز برای ژنتیپ هتروژیگوت (GA) در ژل الکتروفورز مشاهده شد (شکل ۱).

به منظور تأیید نتایج PCR-RFLP، ۱۰ درصد محصولات PCR به صورت تصادفی انتخاب و برای تعیین توالی ارسال شد. داده‌ها با نرم‌افزار SPSS نسخه‌ی ۱۶ (SPSS Inc., Chicago, IL) و با کمک آزمون χ^2 تجزیه و تحلیل شدند. $P < 0.05$ به عنوان سطح معنی‌داری در نظر گرفته شد. توزیع ژنتیپ و آلل این پلی‌مورفیسم در معادله‌ی Hardy-Weinberg می‌باشد.

یافته‌ها

ویژگی‌های افراد گروه‌های مورد و شاهد در جدول ۲ آمده است. تجزیه و تحلیل آماری، هیچ اختلاف معنی‌داری بین سن، جنس و استعمال دخانیات در بین گروه‌های مورد و شاهد نشان نداد. گروه

جدول ۲. اطلاعات نمونه‌های جمع‌آوری شده‌ی افراد گروه‌های مورد و شاهد

مقدار P	گروه مورد (n = ۵۰)	گروه شاهد (n = ۵۰)		
۰/۵۴۸	۲۶ (۵۲)	۲۳ (۴۶)	مرد تعداد (درصد)	جنس
	۲۷ (۵۴)	۲۴ (۴۸)	زن تعداد (درصد)	
۰/۰۷۰	۵۹/۱ ± ۱۰/۶	۵۸/۲ ± ۱۰/۸	سن (سال) (میانگین ± انحراف معیار)	شاخص توده‌ی بدن (kg/m ²) (میانگین ± انحراف معیار)
	۲۶/۸ ± ۵/۶	۲۵/۸ ± ۳/۶		
۰/۰۴۰	۵ (۱۰)	۶ (۱۲)	همیشه	مصرف سیگار
	۴۵ (۹۰)	۴۴ (۸۸)	هرگز	
۰/۰۰۱	۱۳ (۲۶)	۰ (۰)	خیلی کم	فعالیت بدنی
	۲۱ (۴۲)	۱۹ (۳۸)	کم	
۰/۰۰۲	۱۵ (۳۰)	۲۲ (۴۴)	متوسط	مصرف NSAIDs
	۱ (۲)	۹ (۱۸)	زياد	
۰/۰۰۲۰	۴ (۸)	۱۳ (۲۶)	به طور معمول	NSAIDs
	۴۶ (۹۲)	۳۷ (۷۴)	هرگز	

NSAIDs: Non-steroidal anti-inflammatory drugs

* $P < 0.05$

جدول ۳. فراوانی آللی و ژنتیپ در گروه‌های مورد و شاهد

متغیر	AA	AG	GG	GA	شاهد تعداد (درصد)	مقدار P	گروه شاهد تعداد (درصد)
تکرار آلل	۱۷۰/ (۳۶)	۲۱۰/ (۴۲)	۱۱۰/ (۲۲)	۲۸۵/ (۵۷)	۲۳۰/ (۴۶)	۰/۲۷۱	۲۷۰/ (۵۴)
	۱۰۰/ (۲۰)	۱۴۰/ (۲۸)	۱۱۰/ (۲۲)	۲۸/۵ (۴۳)	۲۷/۰ (۵۴)	۰/۲۰۴	
تکرار ژنتیپ	۱۸۰/ (۳۶)	۲۱۰/ (۴۲)	۱۱۰/ (۲۲)	۲۸/۵ (۵۷)	۲۶۰/ (۵۲)	۰/۲۰۴	۱۴۰/ (۲۸)
	۱۷۰/ (۳۶)	۲۱۰/ (۴۲)	۱۱۰/ (۲۲)	۲۸/۵ (۴۳)	۲۳۰/ (۴۶)	۰/۲۷۱	

شنده، ۱/۵۵ بیشتر از حاملین آلل G بود ($P = 0/856 - 2/528$) ($CI = 0/856 - 2/528$). (OR = ۱/۵۵).

در این مطالعه، فراوانی ژنتیپ AA در مقابل ژنتیپ‌های GA و GG تجزیه و تحلیل شد. فراوانی ژنتیپ AA در گروه مورد ۸۰ درصد و در گروه شاهد ۶۴ درصد و فراوانی ژنتیپ‌های GG در گروه مورد ۲۰ و در گروه شاهد ۳۶ درصد بود. نتایج آماری نشان داد که فراوانی ژنتیپ AA در گروه مورد به طور معنی‌داری بیشتر از گروه شاهد است و نسبت شانس حاملین ژنتیپ AA برای ابتلا به سرطان، ۲/۲۵ با فاصله‌ی اطمینان ۹۵ CI = ۱/۱۳۰ - ۵/۵۴ به دست آمد ($P = 0/۰۴۰$, $CI = 1/130 - 5/54$).

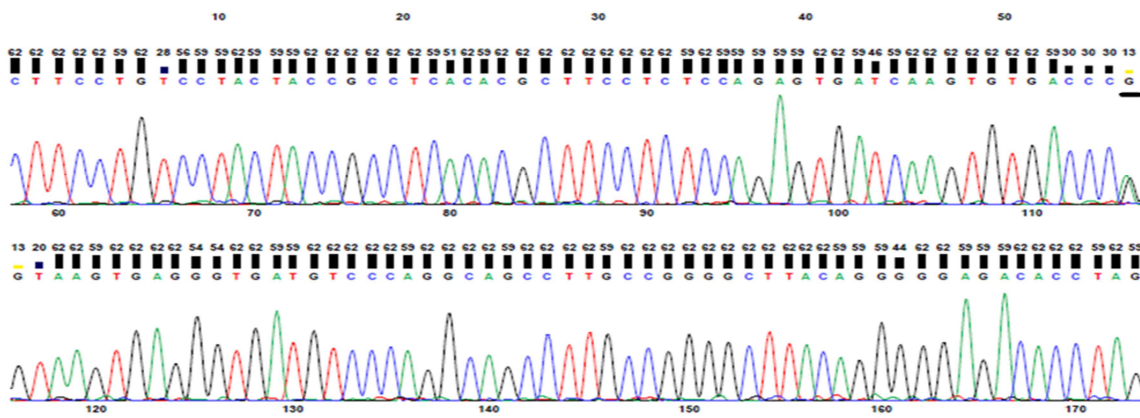
OR = ۲/۲۵

نتایج مطالعه‌ی حاضر نشان داد که افراد حامل ژنتیپ AA خطر بیشتری برای توسعه‌ی سرطان کلورکتال در مقایسه با حاملین ژنتیپ GG دارند ($P = 0/۰۱۰$, $CI = 1/۰۵۰ - ۵/۰۱۰$). (OR AA VS. GG = ۲/۲۹). به عبارت دیگر، در این مطالعه پلی‌مورفیسم CCND1 در زن G870A در حالت مغلوب تأثیرگذار است؛ به طوری که در هر دو جایگاه ژنی آلل A قرار داشته باشد. در محاسبه‌ی توزیع فراوانی ژنتیپ GG در مقایسه با ژنتیپ‌های AA و GA در دو گروه، نتایج آماری معنی‌داری مشاهده نشد ($P = 0/۴۸۸$, $CI = 0/۲۶۵ - ۱/۹۷۵$).

OR = ۰/۷۲۵, (OR = ۰/۷۲۵).

ارتباط معنی‌داری در فعالیت فیزیکی بین گروه‌های مورد و شاهد مشاهده شد و آزمون Mann-Whitney نشان داد، فعالیت فیزیکی در گروه مورد به طور معنی‌داری کمتر از گروه شاهد است ($P = 0/۰۱۰$). تجزیه و تحلیل BMI در دو گروه نشان داد که میانگین شاخص توده‌ی بدنش در گروه مورد بیشتر از گروه شاهد است ($P = 0/۰۴۰$). در این مطالعه، میان‌کنش سن، جنسیت، استعمال دخانیات و مصرف داروهای NSAIDs با ژنتیپ‌های پلی‌مورفیسم بررسی شد، اما ارتباط معنی‌داری بین ژنتیپ‌های پلی‌مورفیسم و این متغیرها دیده نشد.

همان‌طور که در جدول ۳ فراوانی آلل‌ها و ژنتیپ‌های این پلی‌مورفیسم مشاهده می‌شود، میان بیماران سرطان کلورکتال فراوانی ژنتیپ‌های CCND1 در زن G870A به صورت ۲۲ درصد = GG, ۳۶ درصد = AA و ۴۲ درصد = GA بود، در حالی که فراوانی ژنتیپ‌ها در افراد سالم به صورت ۲۸ درصد = GG, ۲۰ درصد = AA و ۵۲ درصد = GA بود. نتایج حاصل از تعیین توالی محصولات PCR نشان داد که مقایسه‌ی توالی تکثیر شده و توالی موجود در بانک اطلاعات ژنی تشابه کامل دارند (شکل ۲). توزیع فراوانی ژنتیپ‌های G870A در زن CCND1 میان گروه‌های شاهد و مورد معنی‌دار نبود ($P = 0/۰۲۰$). فراوانی نسبی آلل A در گروه مورد ۰/۵۷ و در گروه شاهد ۰/۴۶ بود. نسبت شانس حاملین آلل A برای بیمار



شکل ۲. نتیجه‌ی تعیین توالی نمونه‌ی هتروزیگوت AG مربوط به پلی‌مورفیسم G870A در زن CyclinD1

گروه مورد و شاهد وجود نداشت ($P = 0.204$). همچنین، Yaylim-Eraltan G870A در ژن CyclinD1 بین بیماران و افراد سالم تفاوت معنی داری نداشت ($P = 0.203$) ($P = 0.20$). در مطالعه حاضر، فراوانی ژنوتیپ AA در مقابل ژنوتیپ GA و GG بین افراد بیمار و سالم بررسی و مشخص شد که فراوانی ژنوتیپ AA در گروه مورد، به طور معنی داری بیشتر از گروه شاهد است ($P = 0.040$)؛ به عبارت دیگر، آلل A، در مدل مغلوب وارثت ممکن است در افزایش خطر سرطان کلورکتال اثر داشته باشد و با قرار گرفتن آلل A در هر دو جایگاه ژنی یعنی حالت مغلوب، ارتباط این پلیمورفیسم با خطر سرطان کلورکتال مشاهده می شود.

همچنین، Kong و همکاران در مطالعه خود بیان کردند که پلیمورفیسم G870A در ژن CyclinD1 با افزایش خطر ابتلا به سرطان کلورکتال مرتبط است و داده ها بیشتر با تأثیر پلیمورفیسم در مدل توارث مغلوب مرتبط است (۲۱). Jiang و همکاران نیز در مطالعه خود نتیجه مشابهی داشتند؛ آن ها نشان دادند که خطر افزایش یافته ای ابتلا به سرطان کلورکتال برای ژنوتیپ AA در مقایسه با ژنوتیپ AG+GG و وجود دارد (۲۲)، اما از طرفی، Sameer و همکاران در مطالعه خود ژنوتیپ های AG و AA را در مقایسه با ژنوتیپ GG، با افزایش خطر سرطان کلورکتال مرتبط نشان دادند (۲۳). همچنین، Zhang و همکاران بیان نمودند که آلل A مرتبط با افزایش خطر سرطان کلورکتال است (۲۴).

به طور کلی، نتایج متناقضی در مورد ارتباط بین این پلیمورفیسم و خطر سرطان کلورکتال وجود دارد که شاید یکی از علل معنی دار نبودن ارتباط آللی با سرطان در این مطالعه، میزان پایین حجم نمونه باشد؛ انجام مطالعات بیشتری با حجم نمونه بالاتر در این زمینه، ضروری به نظر می رسد.

همچنین، ارتباط بین برخی عوامل محیطی با خطر سرطان کلورکتال و نیز با ژنوتیپ های پلیمورفیسم نیز در این مطالعه Logistic regression مشاهده شد که گروه مورد نسبت به گروه شاهد کمتر از داروهای NSAIDs به صورت منظم استفاده می کردند و همچنین، میزان فعالیت فیزیکی در گروه مورد به طور معنی داری کمتر از گروه شاهد بود و نیز مشاهده شد که میانگین شاخص توده ای بدنه در گروه مورد بیشتر از گروه شاهد است. متغیری که ارتباط آن با ژنوتیپ های پلیمورفیسم بررسی شد، مصرف داروهای غیر استروئیدی ضد التهابی بود. مشخص شد که اثر استفاده از NSAIDs و عدم استفاده از این داروها بر اساس ژنوتیپ ها تغییر نمی کند و تفاوت معنی داری وجود ندارد ($P = 0.280$).

بحث

علاوه بر جهش در ژن های با نفوذ بالا، واریانت های ژنتیک با نفوذ کم یا متوسط همانند پلیمورفیسم های تک نوکلئوتیدی در استعداد به خطر سرطان کلورکتال دخیل هستند (۱۰-۱۱). پلیمورفیسم در ژن CCND1 در میان پلیمورفیسم های مشخص شده ی ژن CyclinD1 بیشتر مورد مطالعه قرار گرفته است (۱۲). ژن CyclinD1 از پنج اکرون تشکیل شده است، این پلیمورفیسم در محدوده مرزی ایترون ۴/۴ اکرون ۵ رخ می دهد که دو رونوشت ایجاد می شود.

آلل G870 یک جایگاه دهنده پیرایش بهینه ایجاد می کند که رونوشت مناسب به نام «a» Transcript را تولید می کند. آلل A870 با پردازش متناوب، یک رونوشت دیگر به نام «b» Transcript ایجاد می کند که فاقد اکرون ۵ می باشد. این رونوشت، فاقد موتیف هایی است که تغییر و تبدیل CyclinD1 را تنظیم می کنند، مانند موتیف تنظیمی دامین PEST که نقش مهمی در تجزیه CyclinD1 دارد و از بیان بیش از حد آن جلوگیری می کند و ترئوین ۲۸۶، باقی مانده ای آمینواسیدی است که خروج از هسته و ثبات پروتئین را کنترل می کند. رونوشت b CyclinD1 نیمه عمر طولانی تری دارد و باعث فعالیت بیشتر چرخه سلولی می شود.

همچنین، این رونوشت به صورت ساختمانی یک پروتئین هسته ای است (به دلیل حذف ترئوین ۲۸۶). به همین دلیل، باعث افزایش دگرگونی های انکوژنی می شود (۱۳، ۹، ۵).

مطالعه بررسی ارتباط پلیمورفیسم G870A در ژن CyclinD1 و سرطان کلورکتال، در ایران صورت نگرفته بود و از طرفی، مطالعات در کشورهای مختلف دیگر دارای نتایج متناقض بود. ارتباط این پلیمورفیسم با خطر سرطان های مختلف نظر سرطان سینه، ریه، معده و مثانه مطالعه شده است. این مطالعات، نشان داده است که پلیمورفیسم G870A در ژن CyclinD1 در ژن G870A نشانگر استعداد خطر چند سرطانی می باشد که همراه میان کنش با عوامل بیولوژیک، فیزیولوژیک و عوامل محیطی مختلف عمل می کند (۱۴-۱۶).

مطالعات متعددی که در کشورهای مختلف ارتباط پلیمورفیسم CyclinD1 در ژن G870A و خطر سرطان کلورکتال را بررسی کردند، نشان دادند که این SNP، یک عامل خطر با نفوذ کم برای سرطان کلورکتال است، اما از آن جایی که شیوع این SNP در جامعه بالا می باشد و با تعامل با دیگر عوامل ژنتیک و عوامل محیطی، خطر ابتلا به سرطان را افزایش می دهد، مطالعه بر روی آن اهمیت ویژه ای دارد (۱۷-۱۹).

در مطالعه حاضر تفاوت معنی داری بین فراوانی آلل ها بین دو

بزرگ چند قومیتی برای کمک به مشخص کردن تأثیر دقیق این پلی‌مورفیسم در سرطان مورد نیاز است. این احتمال که پلی‌مورفیسم G870A ممکن است یک نشانگر برای واریانت‌های دیگر در ژن CyclinD1 باشد، لازم است تا ارزش پیش‌آگهی این پلی‌مورفیسم مشخص شود.

تشکر و قدردانی

بدین وسیله از دانشگاه شهرکرد که تأمین مالی این پایان‌نامه به شماره‌ی ۱۶۱/۳۶۴ را بر عهده داشتند و نیز دانشکده‌ی پزشکی دانشگاه علوم پزشکی اصفهان و مسؤولین آزمایشگاه گروه ژنتیک و بیولوژی مولکولی این دانشکده که شرایط انجام این پایان‌نامه را فراهم نمودند، سپاسگزاری می‌گردد.

بر خلاف نتیجه‌ی مطالعه‌ی حاضر، Lewis و همکاران نشان دادند که در میان افراد حامل آلل A، خطر سرطان کلورکتال برای کسانی که الكل مصرف می‌کنند و سیگار می‌کشند، بیشتر است و در میان کسانی که ژنوتیپ GG دارند، خطر سرطان کلورکتال برای کسانی که مصرف کنندگان NSAIDs و کلسیم کمتر است (۲۵). البته، همان طور که اثر محافظتی این داروها علیه این سرطان شناخته شده است (۲۶-۲۷)، در مطالعه‌ی حاضر نیز این اثر دیده شد که مصرف NSAIDs با کاهش خطر سرطان کلورکتال ارتباط دارد، اما در ارتباط با ژنوتیپ‌ها تفاوتی دیده نشد. در انتهای، باید ذکر شود که ارتباط این پلی‌مورفیسم با خطر ابتلاء به سرطان کلورکتال، به عوامل مختلفی همچون تفاوت نژادی و جغرافیایی، بر هم‌کنش این پلی‌مورفیسم با سایر عوامل ژنتیک و یا زمینه‌ی ژنتیک و عوامل محیطی بستگی دارد. در نتیجه، مطالعات

References

1. Siegel RL, Miller KD, Jemal A. Cancer statistics, 2015. CA Cancer J Clin 2015; 65(1): 5-29.
2. Mahmoodlou R, Mohammadi P, Sepehrvand N. Colorectal cancer in northwestern iran. ISRN Gastroenterol 2012; 2012: 968560.
3. Li D, Conti DV. Detecting gene-environment interactions using a combined case-only and case-control approach. Am J Epidemiol 2009; 169(4): 497-504.
4. Kato JY, Yoneda-Kato N. New twist in the regulation of cyclin D1. Biomol Concepts 2010; 1(5-6): 403-9.
5. Yang Y, Wang F, Shi C, Zou Y, Qin H, Ma Y. Cyclin D1 G870A polymorphism contributes to colorectal cancer susceptibility: evidence from a systematic review of 22 case-control studies. PLoS One 2012; 7(5): e36813.
6. Loh SF, Cooper C, Selinger CI, Barnes EH, Chan C, Carmalt H, et al. Cell cycle marker expression in benign and malignant intraductal papillary lesions of the breast. J Clin Pathol 2015; 68(3): 187-91.
7. Pabalan N, Bapat B, Sung L, Jarjanazi H, Francisco-Pabalan O, Ozcelik H. Cyclin D1 Pro241Pro (CCND1-G870A) polymorphism is associated with increased cancer risk in human populations: a meta-analysis. Cancer Epidemiol Biomarkers Prev 2008; 17(10): 2773-81.
8. Knudsen KE, Diehl JA, Haiman CA, Knudsen ES. Cyclin D1: polymorphism, aberrant splicing and cancer risk. Oncogene 2006; 25(11): 1620-8.
9. Solomon DA, Wang Y, Fox SR, Lambeck TC, Giestring S, Lan Z, et al. Cyclin D1 splice variants. Differential effects on localization, RB phosphorylation, and cellular transformation. J Biol Chem 2003; 278(32): 30339-47.
10. Gylfe AE, Katainen R, Kondelin J, Tanskanen T, Cajuso T, Hanninen U, et al. Eleven candidate susceptibility genes for common familial colorectal cancer. PLoS Genet 2013; 9(10): e1003876.
11. Abuli A, Bessa X, Gonzalez JR, Ruiz-Ponte C, Caceres A, Munoz J, et al. Susceptibility genetic variants associated with colorectal cancer risk correlate with cancer phenotype. Gastroenterology 2010; 139(3): 788-96, 796.
12. Le ML, Seifried A, Lum-Jones A, Donlon T, Wilkens LR. Association of the cyclin D1 A870G polymorphism with advanced colorectal cancer. JAMA 2003; 290(21): 2843-8.
13. Lu F, Gladden AB, Diehl JA. An alternatively spliced cyclin D1 isoform, cyclin D1b, is a nuclear oncogene. Cancer Res 2003; 63(21): 7056-61.
14. Li Y, Zhang S, Geng JX, Yu Y. Effects of the cyclin D1 polymorphism on lung cancer risk-a meta-analysis. Asian Pac J Cancer Prev 2012; 13(5): 2325-8.
15. Rydzanicz M, Golusinski P, Mielcarek-Kuchta D, Golusinski W, Szyfter K. Cyclin D1 gene (CCND1) polymorphism and the risk of squamous cell carcinoma of the larynx. Eur Arch Otorhinolaryngol 2006; 263(1): 43-8.
16. Yu CP, Yu JC, Sun CA, Tzao C, Ho JY, Yen AM. Tumor susceptibility and prognosis of breast cancer associated with the G870A polymorphism of CCND1. Breast Cancer Res Treat 2008; 107(1): 95-102.
17. Chen B, Cao L, Yang P, Zhou Y, Wu XT. Cyclin D1 (CCND1) G870A gene polymorphism is an ethnicity-dependent risk factor for digestive tract cancers: a meta-analysis comprising 20,271 subjects. Cancer Epidemiol 2012; 36(2): 106-15.
18. Forones NM, de Lima JM, de Souza LG, da Silva ID. Cyclin D1 A870G polymorphism in Brazilian colorectal cancer patients. J Gastrointest Cancer 2008; 39(1-4): 118-23.
19. Hong Y, Eu KW, Seow-Choen F, Fook-Chong S, Cheah PY. GG genotype of cyclin D1 G870A polymorphism is associated with increased risk and advanced colorectal cancer in patients in Singapore. Eur J Cancer 2005; 41(7): 1037-44.
20. Yaylim-Eraltan I, Arikan S, Yildiz Y, Cacina C, Ergen HA, Tuna G, et al. The influence of cyclin D1 A870G polymorphism on colorectal cancer risk and prognosis in a Turkish population. Anticancer Res 2010; 30(7): 2875-80.

21. Kong S, Wei Q, Amos CI, Lynch PM, Levin B, Zong J, et al. Cyclin D1 polymorphism and increased risk of colorectal cancer at young age. *J Natl Cancer Inst* 2001; 93(14): 1106-8.
22. Jiang J, Wang J, Suzuki S, Gajalakshmi V, Kuriki K, Zhao Y, et al. Elevated risk of colorectal cancer associated with the AA genotype of the cyclin D1 A870G polymorphism in an Indian population. *J Cancer Res Clin Oncol* 2006; 132(3): 193-9.
23. Sameer AS, Paray FQ, Dar MA, Nissar S, Banday MZ, Rasool S, et al. Cyclin D1 G870A polymorphism and risk of colorectal cancer: a case control study. *Mol Med Rep* 2013; 7(3): 811-5.
24. Zhang LQ, Wang J, Shang JQ, Bai JL, Liu FY, Guan X, et al. Cyclin D1 G870A polymorphism and colorectal cancer susceptibility: a meta-analysis of 20 populations. *Int J Colorectal Dis* 2011; 26(10): 1249-55.
25. Lewis RC, Bostick RM, Xie D, Deng Z, Wargovich MJ, Fina MF, et al. Polymorphism of the cyclin D1 gene, CCND1, and risk for incident sporadic colorectal adenomas. *Cancer Res* 2003; 63(23): 8549-53.
26. Ruder EH, Laiyemo AO, Graubard BI, Hollenbeck AR, Schatzkin A, Cross AJ. Non-steroidal anti-inflammatory drugs and colorectal cancer risk in a large, prospective cohort. *Am J Gastroenterol* 2011; 106(7): 1340-50.
27. Vainio H, Morgan G, Kleihues P. An international evaluation of the cancer-preventive potential of nonsteroidal anti-inflammatory drugs. *Cancer Epidemiol Biomarkers Prev* 1997; 6(9): 749-53.

Evaluation of Relative Frequency of Single Nucleotide Polymorphism G870A (rs9344) in CyclinD1 Gene in Colorectal Cancer Patients and Healthy Subjects of Isfahan Province, Iran

Shima Rahimirad¹, Rasoul Salehi², Behnaz Saffar³, Mostafa Niae³

Original Article

Abstract

Background: Colorectal cancer (CRC) is one of the most common cancers in the world. High activity of CyclinD1 gene has been seen in the progress of this cancer. A common polymorphism (G870A) in exon 4 of CyclinD1 produces a variant transcript with longer half-life and may cause uncontrollable cellular growth thus contributing to cancer development. This study was performed to evaluate the frequency of CCND1 G870A polymorphism between CRC cases and controls.

Methods: DNA samples from peripheral blood leukocytes of 50 patients with sporadic colorectal cancer and 50 healthy subjects were extracted. CCND1 G870A polymorphism was genotyped by polymerase chain reaction-restriction fragment length polymorphism (PCR-RFLP) in healthy subjects and patients. Statistical analysis was performed by chi-squared test via SPSS software.

Findings: Relationship between CCND1 G870A polymorphism in allele frequencies between cases and controls were not observed ($P = 0.204$). While the frequency of AA genotype was significantly higher in patients ($P = 0.040$, 95% CI = 1.13-5.54, OR = 2.25).

Conclusion: According to the significant association observed between certain genotypes of this locus (AA) with colorectal cancer, it can be used in the future as a good prognostic marker in CRC screening programs.

Keywords: Colorectal cancer, Single nucleotide polymorphism, CyclinD1 gene

Citation: Rahimirad S, Salehi R, Saffar B, Niae M. Evaluation of Relative Frequency of Single Nucleotide Polymorphism G870A (rs9344) in CyclinD1 Gene in Colorectal Cancer Patients and Healthy Subjects of Isfahan Province, Iran. J Isfahan Med Sch 2016; 34(385): 649-56.

1- MSc Student, Department of Genetic, School of Sciences, Shahrekord University, Shahrekord, Iran

2- Professor, Department of Genetics and Molecular Biology, School of Medicine, Isfahan University of Medical Sciences, Isfahan, Iran

3- Assistant Professor, Department of Genetics, School of Sciences, Shahrekord University, Shahrekord, Iran

Corresponding Author: Rasoul Salehi, Email: r_salehi@med.mui.ac.ir